

## Получение постоянных электрических полей заданной формы в неявноэлектродной системе

© Г.В. Бадалян

Ереванский физический институт им. А.И. Алиханяна  
0036 Ереван, Армения  
e-mail: Badalian@mail.Yerphi.am

(Поступило в Редакцию 12 января 2010 г. В окончательной редакции 27 мая 2010 г.)

Рассмотрен метод получения электростатических полей заданной формы в неявноэлектродной цилиндрической системе. „Распределенность“ электродов (нитевидные проводники) дает возможность решить обратную граничную задачу — задавать такое азимутальное распределение электрического потенциала по периметру цилиндра, чтобы получить нужное поле внутри, обеспечив при этом большую рабочую область по сравнению с явноэлектродной системой.

### Введение

В современной науке и технике, в частности в электронной оптике, широко применяются электрические и магнитные поля самой различной формы для формирования пучков заряженных частиц, конструирования разнообразной электронно-лучевой аппаратуры (см. [1–4] и приведенную библиографию). Характерной особенностью существующих систем, создающих поперечные поля, является наличие электродов (полюсных наконечников), обеспечивающих поля с нужными характеристиками в узкой параксиальной области. А для получения полей заданной формы с большой светосилой, электродам (полюсным наконечникам) необходимо придать определенную геометрическую форму (например, гиперболическую), что порой осложняет реализацию таких отклоняющих и концентрирующих систем. Существуют различные приближенные методы расчета этих полей в зависимости от геометрии [1–5].

В начале 1960 х гг. автором с использованием аппарата скалярного магнитного потенциала был предложен и реализован метод получения постоянных магнитных полей заданной формы в неявнополюсной магнитной системе, задавая определенным законом распределения ампер-витков на внутренней поверхности цилиндрического полого ферромагнетика, т.е. решена обратная граничная задача (см. [6–8], а также монографию [2] стр. 28–29). Аналогичная задача была решена для получения продольных магнитных полей [9]. В настоящее время имеется определенное развитие неявнополюсных магнитов, в частности, на основе закона Био–Савара, имеются практические реализации в сверхпроводящих системах (см., например, [10–12]). Обращаясь к электростатическим системам, отметим, что в монографическом обзоре [3] подробно проанализированы существующие разнообразные электронные линзы и обосновывается необходимость новых конструктивных решений.

### Постановка задачи и решение

В настоящей работе рассмотрена задача получения электростатических полей заданной формы в неявноэлектродной цилиндрической системе, при этом решена обратная граничная задача.

Такой метод получения полей обеспечивал бы большую рабочую апертуру (светосилу) по сравнению с традиционной явноэлектродной системой.

Пусть имеется некая длинная цилиндрическая полость длиной  $L$  и радиусом  $R$  (рис. 1), на внутренней поверхности которой вдоль образующих равномерно распределены изолированные нитевидных проводники, на которые подается потенциал. Толщина и шаг проводников много меньше  $R$ . Если внутри полости нет свободных зарядов, то распределение электрического скалярного потенциала внутри полости определяется уравнением Лапласа  $\Delta U = 0$ . При  $L \gg 2R$  рассмотрение задачи переводится на плоскость в рамках круга радиуса  $R$ . Тогда в полярной системе координат  $(r, \theta)$  уравнение Лапласа запишется как [5,13]:

$$r^2 \frac{\partial^2 U}{\partial r^2} + r \frac{\partial U}{\partial r} + \frac{\partial^2 U}{\partial \theta^2} = 0. \quad (1)$$

Общее решение этого уравнения внутри круга  $0 \leq r \leq R$  представляется в виде ряда Фурье [5,13]:

$$U(r, \theta) = \sum_{m=1}^{\infty} r^m (a_m \cos m\theta + b_m \sin m\theta) + U_0. \quad (2)$$

Если на границе круга ( $r = R$ ) задано граничное условие — распределение потенциала  $f(\theta')$ , то потенциал и поле внутри круга полностью будут определяться этим распределением, а постоянные разложения  $a_m$ ,  $b_m$  и  $U_0$  будут интегралами Фурье [5,13]:

$$a_m = \frac{1}{\pi R^m} \int_0^{2\pi} f(\theta') \cos m\theta' d\theta'; \quad b_m = \frac{1}{\pi R^m} \int_0^{2\pi} f(\theta') \sin m\theta' d\theta';$$

$$U_0 = \frac{1}{2\pi} \int_0^{2\pi} f(\theta') d\theta'. \quad (3)$$

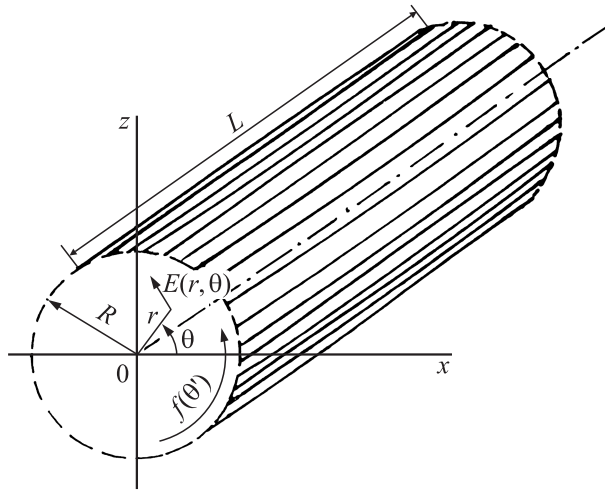


Рис. 1. Принципиальная схема задач.

При таком определении постоянных на границе ( $r = R$ ) тождественно будет иметь

$$f(\theta') = \sum_{m=1}^{\infty} R^m (a_m \cos m\theta' + b_m \sin m\theta') + U_0. \quad (4)$$

Обычно  $f(\theta')$  — периодическая функция и поэтому  $U_0 \equiv 0$ . Очевидно, что искомое решение для потенциала (и поля) внутри круга ( $r < R$ ) целиком зависит от граничного условия  $f(\theta')$ .

Попробуем поставить обратную задачу — какое должно быть граничное условие, чтобы получить внутри поле заданной формы. В соответствии с работой [14] постоянные Фурье  $a_m$  и  $b_m$  можно представить через соответствующие значения производных в нуле ( $r = 0$ ) составляющих напряженности  $E$  электрического поля вдоль осей  $x$  и  $z$ :

$$a_m = \frac{1}{m!} \left( \frac{\partial^{m-1} E_x}{\partial x^{m-1}} \right)_{r=0}, \quad b_m = \frac{1}{m!} \left( \frac{\partial^{m-1} E_z}{\partial x^{m-1}} \right)_{r=0}. \quad (5)$$

Тогда уравнение (4) запишется в форме

$$f(\theta') = \sum_{m=1}^{\infty} \frac{R^m}{m!} \left[ \left( \frac{\partial^{m-1} E_x}{\partial x^{m-1}} \right)_{r=0} \cos m\theta' + \left( \frac{\partial^{m-1} E_z}{\partial x^{m-1}} \right)_{r=0} \sin m\theta' \right]. \quad (6)$$

Из полученного выражения видно, что если задаваться распределением потенциала на границе  $f(\theta')$  пропорционально  $\cos m\theta'$ , то из всей суммы в (6) в силу тождества останется только выбранный гармонический член  $m$ -го порядка, остальные члены обратятся в нули (см. также выражение (3)). Тогда, очевидно,

$$f(\theta') = \frac{R^m}{m!} \left( \frac{\partial^{m-1} E_x}{\partial x^{m-1}} \right)_{r=0} \cos m\theta' \equiv V_m \cos m\theta', \quad (7)$$

где  $V_m$  — амплитуда распределения граничного потенциала.

Соответственно при таком выборе распределения потенциала на границе в выражении потенциала  $U(r, \theta)$  (выражение (2)) останется только член с коэффициентом  $(\partial^{m-1} E_x / \partial x^{m-1})_{r=0}$ , и поле в любой точке внутри круга будет определяться этим коэффициентом, т.е. описываться законом поперечного распределения соответственно данному порядку производной поля в нуле.

Действительно, скалярный потенциал для выбранного случая будет иметь следующий вид:

$$U_m(r, \theta) = \frac{r^m}{m!} \left( \frac{\partial^{m-1} E_x}{\partial x^{m-1}} \right)_{r=0} \cos m\theta. \quad (8)$$

Радиальная и азимутальная составляющие напряженности поля будут соответственно

$$E_r = -\frac{\partial U_m(r, \theta)}{\partial r} = -\frac{r^{m-1}}{(m-1)!} \left( \frac{\partial^{m-1} E_x}{\partial x^{m-1}} \right)_{r=0} \cos m\theta,$$

$$E_\theta = -\frac{1}{r} \frac{\partial U_m(r, \theta)}{\partial \theta} = \frac{r^{m-1}}{(m-1)!} \left( \frac{\partial^{m-1} E_x}{\partial x^{m-1}} \right)_{r=0} \sin m\theta. \quad (9)$$

Полная напряженность в данной точке поля, очевидно, равна

$$E(r, \theta) = \sqrt{E_r^2 + E_\theta^2} = \frac{r^{m-1}}{(m-1)!} \left( \frac{\partial^{m-1} E_x}{\partial x^{m-1}} \right)_{r=0} \quad (10)$$

и не зависит от угла.

Определим  $E_z$  и  $E_x$  через составляющие поля  $E_r$  и  $E_\theta$ . Известно, что всегда:

$$E_z = E_r \sin \theta + E_\theta \cos \theta,$$

$$E_x = E_r \cos \theta - E_\theta \sin \theta. \quad (11)$$

Используя выражения (9) и (11), получим:

$$E_z = \frac{r^{m-1}}{(m-1)!} \left( \frac{\partial^{m-1} E_x}{\partial x^{m-1}} \right)_{r=0} \sin(m-1)\theta,$$

$$E_x = -\frac{r^{m-1}}{(m-1)!} \left( \frac{\partial^{m-1} E_x}{\partial x^{m-1}} \right)_{r=0} \cos(m-1)\theta. \quad (12)$$

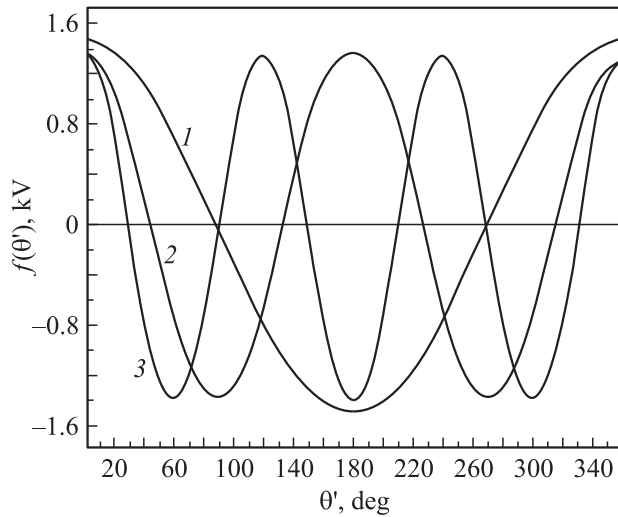
Легко видеть, что на оси  $x$ :  $\theta = 0$ ,  $r = x$ , следовательно,

$$E_z = 0,$$

$$E_x = -\frac{x^{m-1}}{(m-1)!} \left( \frac{\partial^{m-1} E_x}{\partial x^{m-1}} \right)_{r=0}. \quad (13)$$

Из выражений (9)–(13) видно, что, задаваясь значением  $m = 1, 2, 3, \dots$ , т.е. распределением граничного условия  $f(\theta')$  по законам  $\cos \theta'$ ,  $\cos 2\theta'$ ,  $\cos 3\theta'$ , ..., получим поля: — однородное  $E_{x0}$ , линейно меняющееся по радиусу с градиентом  $(\partial E_x / \partial x)_{r=0}$ ; — нелинейное поле с квадратичной нелинейностью  $(\partial^2 E_x / \partial x^2)_{r=0}$  и т.д.

Иными словами, можно изготовить указанным способом электрический диполь с однородным полем, электрическую квадрупольную линзу, электрическую шестипольную линзу и т.д.



**Рис. 2.** Распределение граничного потенциала  $f(\theta')$  при бесконечном числе проводников для рассмотренных в примере гармоник поля: 1 —  $V_1 \cos \theta'$ ; 2 —  $V_2 \cos 2\theta'$ ; 3 —  $V_3 \cos 3\theta'$ . При конечном числе проводников ( $n = 36$ ) вместо сплошных кривых будут дискретные последовательности точек через каждый шаг ( $10^\circ$ ) изменения азимута.

В качестве примера: в соответствии с формулой (7) необходимые амплитуды распределения граничного потенциала

$$V_m = \frac{R^m}{m!} \left( \frac{\partial^{m-1} E_x}{\partial x^{m-1}} \right)_{r=0}$$

для вышерассмотренных типов полей ( $m = 1, 2, 3$ ) будут соответственно

$$V_1 = RE_{x_0}, \quad V_2 = \frac{R^2}{2!} \left( \frac{\partial E_x}{\partial x} \right)_{r=0},$$

$$V_3 = \frac{R^3}{3!} \left( \frac{\partial^2 E_x}{\partial x^2} \right)_{r=0},$$

и если при апертуре  $2R = 12$  см задать  $E_{x_0} = 250$  В/см,  $(\partial E_x / \partial x)_{r=0} = 80$  В/см<sup>2</sup>,  $(\partial^2 E_x / \partial x^2)_{r=0} = 40$  В/см<sup>3</sup>, то эти амплитуды составят 1.4–1.5 кВ (рис. 2).

Предложенный метод можно применить не только для получения чистых гармонических составляющих поля, но и для получения электрических полей более сложной конфигурации, представляющих суперпозицию нескольких, в основном первых, гармонических составляющих (включая в общем случае и постоянный член).

Пусть в разложении требуемого сложного поля должны присутствовать производные  $(\partial^{m-1} E_x / \partial x^{m-1})_{r=0}$  первых  $m$  порядков. Тогда, согласно вышесказанному, распределение потенциала на границе должно иметь вид (см. выражение (7)):

$$f(\theta') = \sum_1^m \frac{R^m}{m!} \left( \frac{\partial^{m-1} E_x}{\partial x^{m-1}} \right)_{r=0} \cos m\theta'. \quad (14)$$

Выражения для скалярного потенциала и составляющих электрического поля запишутся известным образом, см. выражения (8), (9) и (12):

$$U_s(r, \theta) = \sum_1^m \frac{r^m}{m!} \left( \frac{\partial^{m-1} E_x}{\partial x^{m-1}} \right)_{r=0} \cos m\theta, \quad (15)$$

$$E_r = - \sum_1^m \frac{r^{m-1}}{(m-1)!} \left( \frac{\partial^{m-1} E_x}{\partial x^{m-1}} \right)_{r=0} \cos m\theta, \quad (16)$$

$$E_\theta = \sum_1^m \frac{r^{m-1}}{(m-1)!} \left( \frac{\partial^{m-1} E_x}{\partial x^{m-1}} \right)_{r=0} \sin m\theta, \quad (17)$$

$$E_z = \sum_1^m \frac{r^{m-1}}{(m-1)!} \left( \frac{\partial^{m-1} E_x}{\partial x^{m-1}} \right)_{r=0} \sin(m-1)\theta, \quad (18)$$

$$E_x = - \sum_1^m \frac{r^{m-1}}{(m-1)!} \left( \frac{\partial^{m-1} E_x}{\partial x^{m-1}} \right)_{r=0} \cos(m-1)\theta, \quad (19)$$

Раскроем ряд  $z$ -составляющей поля:

$$E_z = r \left( \frac{\partial E_x}{\partial x} \right)_{r=0} \sin \theta + \frac{r^2}{2!} \left( \frac{\partial^2 E_x}{\partial x^2} \right)_{r=0} \sin 2\theta + \frac{r^3}{3!} \left( \frac{\partial^3 E_x}{\partial x^3} \right)_{r=0} \sin 3\theta + \dots \quad (20)$$

Учитывая очевидные соотношения

$$r \sin \theta = z, \quad r \cos \theta = x, \quad r^2 \sin 2\theta = 2xz, \\ r^3 \sin 3\theta = 3x^2z - z^3,$$

получим

$$E_z = \left( \frac{\partial E_x}{\partial x} \right)_{r=0} z + \frac{1}{2!} \left( \frac{\partial^2 E_x}{\partial x^2} \right)_{r=0} 2xz + \frac{1}{3!} \left( \frac{\partial^3 E_x}{\partial x^3} \right)_{r=0} (3x^2z - z^3) + \dots \quad (21)$$

Аналогичным образом для  $E_x$  получим

$$E_x = - \left[ E_{x_0} \left( \frac{\partial E_x}{\partial x} \right)_{r=0} x + \frac{1}{2!} \left( \frac{\partial^2 E_x}{\partial x^2} \right)_{r=0} (x^2 - z^2) + \frac{1}{3!} \left( \frac{\partial^3 E_x}{\partial x^3} \right)_{r=0} (x^3 - 3xz^2) + \dots \right]. \quad (22)$$

В интересном случае  $z = 0$  имеем

$$E_z = 0, \quad (23)$$

$$E_x = - \left[ E_{x_0} + \left( \frac{\partial E_x}{\partial x} \right)_{r=0} x + \frac{1}{2!} \left( \frac{\partial^2 E_x}{\partial x^2} \right)_{r=0} x^2 + \frac{1}{3!} \left( \frac{\partial^3 E_x}{\partial x^3} \right)_{r=0} x^3 + \dots \right].$$

Ограничиваясь, например, в выражении (15) первыми тремя членами, можно получить суммарное электрическое поле с заданными параметрами, которое послужит как для отклонения и концентрации, так и для устранения сферической абберации траектории частиц.

Укажем еще одну возможность в формуле (6), заключающуюся в том, что можно использовать также первый синусный член в квадратной скобке. Действительно, выбрав, например, выражение распределения потенциала на границе в виде суммы  $A \cos \theta' + B \sin \theta'$ , можно получить поле, имеющее две взаимно-перпендикулярные однородные составляющие, причем величину каждой из них можно менять независимо, что удобно для корректировки траектории пучков частиц.

## Заключение

В работе рассмотрено создание поперечных электростатических полей заданной формы с помощью неявноэлектродной цилиндрической системы. „Распределенность“ электродов (нитевидные проводники) дает возможность решить обратную граничную задачу — задавать такое граничное распределение электрического потенциала, чтобы получить нужное поле в полости. По сравнению с явноэлектродной данная система будет обладать большей рабочей апертурой (светосилой). Дополнительными аргументами, по-видимому, могут быть избежание необходимости изготовления сложных явных электродов (типа гиперболических), практическое отсутствие металлических частей и малый вес.

Такие системы могут быть применены для формирования пучков заряженных частиц низких энергий.

Безусловно, будут определенные трудности в изготовлении такой неявноэлектродной системы и соответствующего питающего устройства. В настоящее время в Ереванском физическом институте начато конструирование макетного образца, и мы надеемся по ходу работы получить ответы на многие вопросы создания и испытания такой системы.

Автор благодарит Э.Г. Газазяна за полезное обсуждение.

## Список литературы

- [1] Кельман В.М., Явор С.Я. Электронная оптика. СПб: Наука, 1968. 487 с.
- [2] Явор С.Я. Фокусировка заряженных частиц квадрупольными линзами. М.: Атомиздат, 1968. 263 с.
- [3] Баранова Л.А., Явор С.Я. Электростатические электронные линзы. М.: Наука, 1986. 192 с.
- [4] Жигарев А.А. Электронная оптика и электронно-лучевые приборы. М.: Высш. шк., 1972. 539 с.
- [5] Бинс К., Лауренсон П. Анализ и расчет электрических и магнитных полей. М.: Энергия, 1970. С. 94–95.
- [6] Бадалян Г.В. // ЖТФ. 1963 с. Т. 33. Вып. 3. С. 345–349.
- [7] Азатян А.А., Бадалян Г.В., Ерицян Г.Н. // ПТЭ. 1963. № 3. С. 142–145.

- [8] Азатян А.А., Бадалян Г.В., Ерицян Г.Н. // Тр. IV Межвуз. конф. по электронным ускорителям. М.: Высш. шк., 1964. С. 347–358.
- [9] Бадалян Г.В. // Известия АН Арм.ССР Сер. физ. мат. наук. 1964. Т. 17. № 5. С. 121–126. № 6. С. 141–148.
- [10] Скачков В.С. Препринт ИТЭФ-178. 1984.
- [11] Акишин П.Г., Бутенко А.В., Коваленко А.Д. и др. Препринт ОИЯИ Р9-2005-221.
- [12] Акишин П.Г., Бутенко А.В., Коваленко А.Д. и др. // Письма в ЭЧАЯ. 2006. Т. 3. № 2(131). С. 105–110.
- [13] Смирнов В.И. Курс Высшей математики. Т. II. М.: Наука, 1974. С. 603–606.
- [14] Греков Н.И., Рябов А.П., Гольдин Л.Л. // ПТЭ. 1956. № 2. С. 29.